

한국부식학회지

Journal of the Corrosion Science Society of Korea  
Vol. 7, No. 2, Aug. 1978

## &lt;研究論文&gt;

## 알루미늄 陽極溶出에 關한 研究(Ⅱ)\*

南宗祐·朴勝祥·朴贊燮

仁荷大學校 化學工學科

(1978. 6. 20 接授)

## A Study on the Anodic Dissolution of Aluminum(II)

C.W.Nam, C.S. Park and C.S. Park

Department of chemical Engineering, College of Engineering

Inha University, Inchun Korea

(Received, Jun. 20, 1978)

## ABSTRACT

In many cases oxide films formed on metals in atmosphere or aqueous solution are chemically inactive, especially it is the case with aluminum. In this study, anodic dissolution of aluminum was done using various electrolyte and cathode, mechanism of which was examined.

As a consequence, oxide film on aluminum surface was dissolved together with the dissolution reaction of metal by the anodic current. It was shown that the dissolution reaction due to the contact between electrolyte and metal happened in the same time.

## 1. 序 論

廢水 및 工業用水處理用 凝集劑로서 알루미늄의 電解溶出에 의한 水酸化알루미늄을 使用하는 報告<sup>1)~3)</sup> 가 있어, 本研究에서는 알루미늄金屬을 陽極으로 하여 各種支持電解質溶液中에서의 陽極電流에 의한 溶出反應의 內容을 檢討코자 하였다. 大量의 金屬이 大氣中 또는 水溶液中에서 특히 알루미늄과 같은 金屬에서 그 表面에 比較的 化學的活性이 적은 酸化物被膜이 잘 形成되는 경우가 있다. 이와같이 알루미늄金屬表面에 잘 形成되는 不動態化被膜이  $Al \rightarrow Al^{3+}$  와 같은 陽極溶出反應에 미치는 영향등을 檢討하기 위하여, 알루미늄陽極溶出에 관한 電流效率를 測定하고 陽極室에서의 發生gas를 捕集分析하여, 이를 結果로부터 알루미늄金屬의 陽極溶出反應의 內容을 推定코자 하였다.

## 2. 實驗方法

**2-1 陽極溶出用 알루미늄試片 및 前處理:** 두께 0.5 mm 알루미늄板을 陽極溶出用 試片으로서 使用하였으며, 순도는 99.5% 以上으로서 原子吸光分析(Varian Tech Model 1200)에 의한 組成分析結果는 Table 1 과 같다.

Table 1. Chemical composition of Al-sheet.

Components	Al	Fe	Si	Cu	Mn	Zn	Mg	Others
Contents (%)	99.5	0.32	0.09	0.03	0.005	0.005	0.004	0.046

Sandpaper (600CW, 800CW, 1000CW)로 試片表面을 研磨한 후 벤젠, 鹽酸 및 蒸瘤水의順序로 洗滌한 후 즉시 에틸알코올로 洗滌하여 테시케이터중에 放置한 후 化學天秤에 의해 試片의 重量을 測定하였으며, 電解溶出시킨 후의 알루미늄電極의 重量을 測定하기 위하여 電解溶出을 중지하는 즉시 電解槽에서 꺼내어 蒸瘤水 및 에틸알코올로 洗滌하여 테시케이터중에서 乾燥시킨 후

\* 1978年度 韓國腐食學會 春季學術發表會(漢陽大學校)에서 발표.

秤量하였다.

**2-2 알루미늄陽極溶出用 電解裝置 및 電流效率算出 :**  
20V, 5A 容量의 定電位電解裝置(YANACO-VE705)를 直流電源으로 하여 定電流電解에 의해 알루미늄金屬을 陽極溶出 시켰으며, 이경우 通電量은 銅電量計를 使用하여 測定하였다. 알루미늄陽極溶出量은 電解前後의 알루미늄陽極의 重量減少를 測定하여 決定하였고, 이로부터 電解溶出에 관한 電流效率을 算出하였다.

電解槽은 無隔膜電解槽와 陽極室과 陰極室의 發生가스의 混入을 防止하기 위하여 H-type 隔膜電解槽를 使用하였고, 陰極으로서는 鎳, 亞鉛, 白金 및 黑鉛을 使用하였다.

**2-3 副反應에 의한 發生가스의 捕集 및 分析 :** 알루미늄金屬의 陽極溶出反應外에 副反應으로 發生될 수 있는 酸素 및 水素ガス를 捕集코자 Fig. 1과 같은 가스捕集裝置를 使用하였다. 陽極室에서 發生되는 가스중에는 電極反應에 의한 酸素와 電極反應外의 金屬溶解反應에 의한 水素ガス도 發生할 수 있기 때문에 Orsat 가스分析器를 使用하여 陽極室에서 發生된 가스를 알카리성

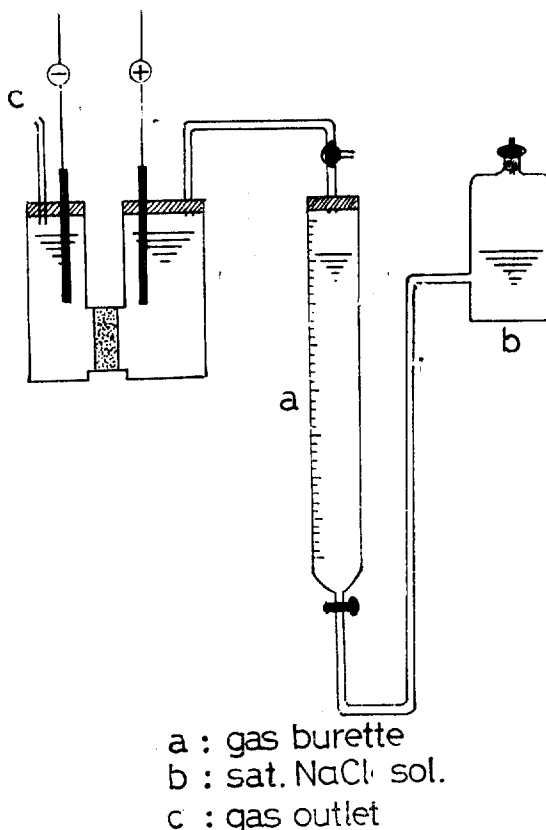
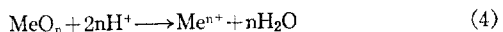
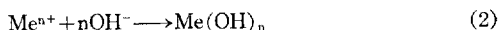


Fig. 1. Apparatus for electrolytic gas capture.

피로가를溶液에 吸收시킨 후 残量ガス를 水素ガス로 간주하였다.

### 3. 結果 및 考察

電解質水溶液中에서 金屬을 陽極으로 하여 電流를 通過시킬 때 電極表面에서 일어날 수 있는 現象으로서 다음과 같은 몇 가지 事項을 생각할 수 있다. 즉 金屬이온으로의 溶出反應, 溶出에 의해서 生成된 金屬이온과 溶液成分과의 化學反應, 酸化被膜의 形成 및 酸化被膜의 溶解反應등을 생각할 수 있으며, 이들反應을 簡単히 化學反應式으로 表現하면 다음과 같다.



이들 反應중 특히 알루미늄金屬의 경우는 (1), (2), (3)과 같은 反應에 의해서 不動態化被膜이 잘形成되는 傾向性이 있으며, Pourbaix에 의하면<sup>4)</sup> Fig. 2에 図示된 바와 같이 pH 4 ~ 8領域에서는 특히 酸化物의 不動態化被膜이 安定한 領域이다. 그러나 이와같은 酸化物被膜이 安定한 領域이 외의 液性에서도 溶液種類에 따라 被膜形成이 가능하리라고 推定되며, 만일 이와같은 경우 被膜生成速度가 被膜形成速度보다 를 때에는 不動態化被膜의 成長現象이 일어날 것이다.

실제로 高橋 등<sup>5)</sup>에 의하면 定電位(0.3V vs. S.C.E. 40°C)에서 陽極酸化시켰을 경우 液性에 따라 陽極電流의 經時變化가 나타난다(Fig. 3). 이와같이 pH 값이 커질수록 陽極電流의 減少現象이 생기는 것은 알루미늄

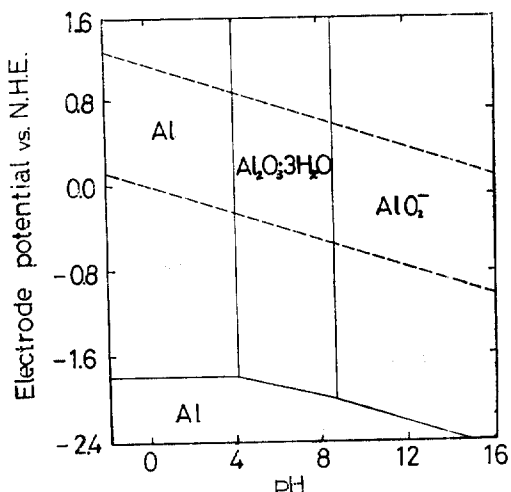
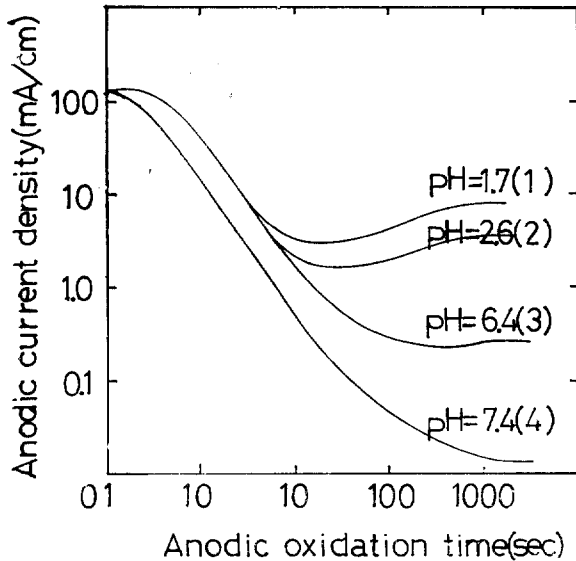


Fig. 2. pH-E plot of Al-metal.



(1) 0.16 M  $\text{H}_2\text{C}_2\text{O}_4$   
 (2) 0.08 M  $\text{H}_2\text{C}_2\text{O}_4 + 0.08 \text{M} (\text{NH}_4)_2\text{C}_2\text{O}_4$   
 (3) 0.16 M  $(\text{NH}_4)_2\text{C}_2\text{O}_4$   
 (4) 0.5 M  $\text{H}_3\text{PO}_4 + 0.05 \text{M Na}_2\text{B}_4\text{O}_7$

Fig. 3. Relation between anodic oxidation time and current density of aluminum anode at constant potential.

陽極表面에 不動態化被膜의 形成때문이라고 생각하고 中性溶液중에서는 比較的 均一하면서 치밀한 被膜形成과 더부터 被膜의 溶解速度가 減少함에 따라 單調로 陽極電流의 減少現象이 나타난다고 생각하고 있다. 한편 酸性溶液중에서는 초기에는 被膜形成으로 因한 陽極電流의 減少現象이 나타나다가 다시 電流의 上昇現象이 생기는것은 多孔質被膜의 形成과 被膜의 溶解速度가 커지기 때문이라고 생각하고 있다.

따라서 本實驗에서는 各種陰極을 使用하여 各種支持電解質溶液중에서의 定電流電解에 의한 알루미늄陽極의 重量減少로부터 陽極溶出에 대한 電流効率을 算出하여 Fig. 4 ~ 7에 圖示하였다.

無隔膜電解槽중에서 알루미늄陽極電位의 經時變化에 관한 報告<sup>1)</sup>에 의하면, 즉 水素過電壓이 가장 작은 白金陰極의 경우, 납 亞鉛 및 黑鉛陰極의 경우와는 相異한結果가 나타난다는 것에 입각하여 實際로 陽極溶出시킬 경우, 陰極種類에 따라 溶出狀態가 달라질 것으로 推定되어 前述한 4種의 陰極을 選定하였다. 그러나 實察로 Fig. 4 ~ 7에서 볼수 있는 바와 같이 陽極溶出時 陰極種類에 따라 큰 差異가 나타나지 않음을 관찰할 수 있었다.

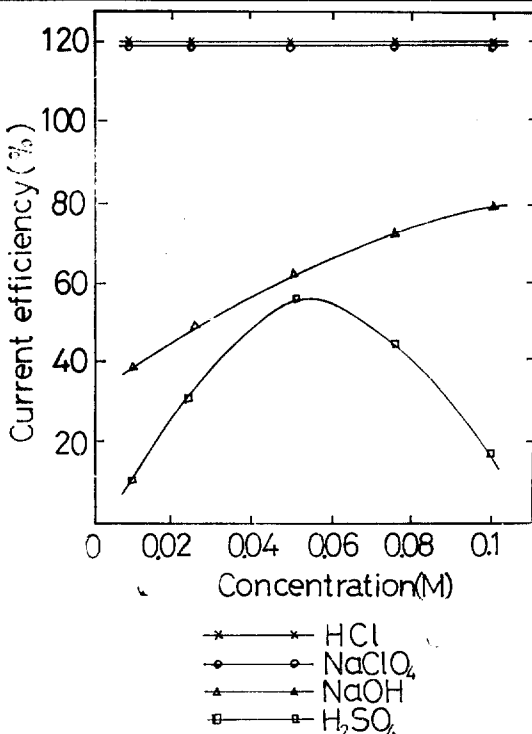


Fig. 4. Relation between current efficiency and electrolyte concentration at graphite cathode.

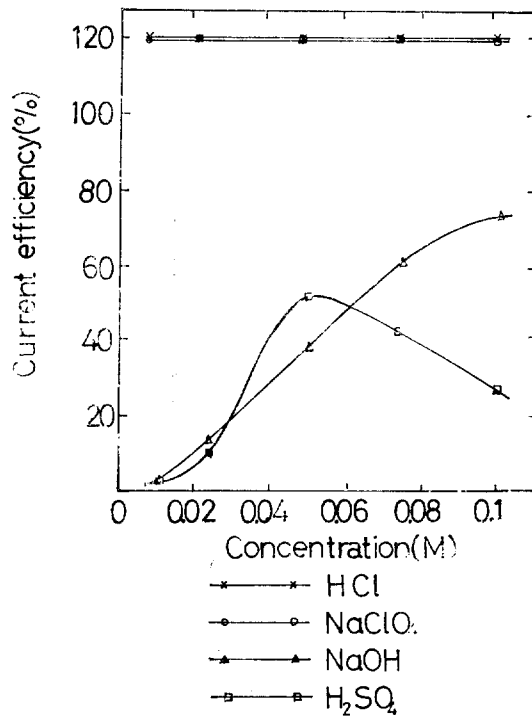


Fig. 5. Relation between current efficiency and electrolyte concentration at Pt-cathode.

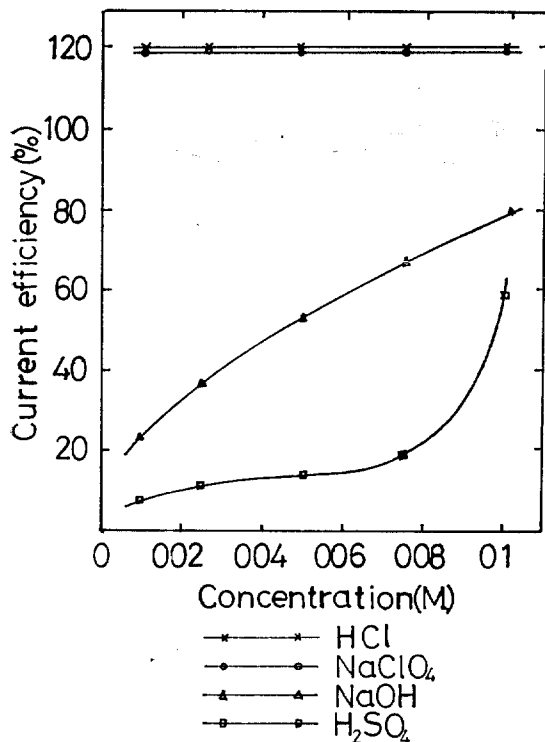


Fig. 6. Relation between current efficiency and electrolyte concentration at Pb-cathode.

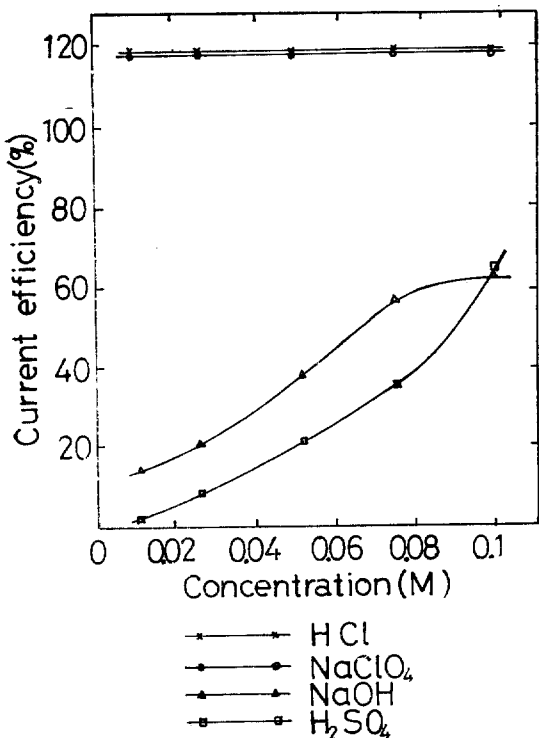
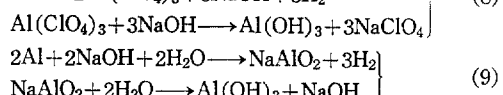
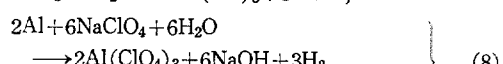
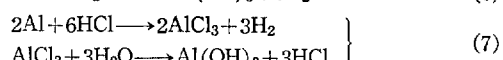
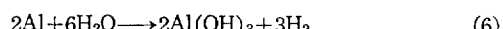
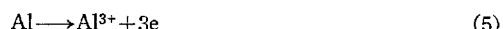


Fig. 7. Relation between current efficiency and electrolyte concentration at Zn-pathode.

電解質로서는  $\text{HCl}$ ,  $\text{NaClO}_4$ ,  $\text{NaOH}$  및  $\text{H}_2\text{SO}_4$ 를 使用하였으며, 鹽酸 및 過鹽素酸나트륨의 경우만은 約 120%의 電流效率을 나타내고 있다. 이는 다음과 같은 陽極溶出反應을 基準으로 생각하면 電流效率은 100% 이상이 될 수 없겠으나, 實際로 120% 이상이 되는 것은 (5) 式과 같은 電極反應에 의한 金屬의 溶出反應의에 다음과 같은 電解質溶液과의 金屬溶解反應이 存在하기 때문이라고 推定할 수 있다.



따라서 이와 같은 電解質水溶液 중에서 金屬溶解反應이 電解溶出反應에 수반하여 동시에 같이 일어난다고 생각하여, 陽極室에서 發生되는 가스를 捕集하여 分析한結果相當量의 水素가스가 發生함을 確認할 수 있었다.

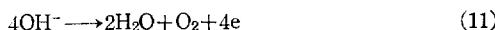
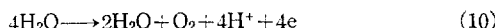
黃酸과 水酸나트륨을 支持電解質로 使用할경우에는 陽極溶出反應에 대한 電流效率이 100%가 안되지만, 이경우에도 陽極室에서 水素가스가 發生하는 것이 定性的으로 確認되었으며, 알루미늄金屬表面에 不動態化被膜이 잘形成될 수 있는 黃酸이나 水酸化나트륨水溶液에서도 陽極溶出反應의에 水溶液과의 金屬溶解反應도 부수적으로 일어나고 있음을 알 수 있었으며, 그 反應量에 관한 定量的인 檢討는 다음 과제로 하겠다.

前述한 바와 같은 水溶液중에서 金屬의 溶解反應에 의해서 알루미늄陽極이 溶解되기 위해서는 電解質水溶液 중에서 金屬이 직접 接觸되어야 한다. 즉 陽極電流에 의해 알루미늄金屬表面에 形成된 酸化物被膜이 水溶液중의 어떤 成分에 의해서 一次의으로 溶解되면서 二次의으로 溶液과 金屬이 接觸되어 溶出되는 경우를 생각할 수 있고, 또 다른 경우로서 陽極電流에 의해서 一次의으로 不活性被膜이 形成되고, 계속해서 다시 二次의으로 不活性被膜이 陽極電流에 의해서 破壞되면서 알루미늄金屬의 溶解反應이 일어나는 두가지 經路를 推定할 수 있다.

이상의 두가지 經路중 前者와 같이 酸化物被膜이 溶液成分에 의해서 溶解되는가를 確認하기 위하여 陽極電流를 흘려주지 않은 狀態에서 常溫下에 있는前述한 各種 電解黃水溶液(0.1M)중에 알루미늄試片을

두時間 침적 시켰을 때의 重量減少를 測定하여 본 結果, 모든 경우 重量減少가 없었다. 따라서 電流效率이 100% 이상이 되는 것은 前述한 金屬溶解過程 중 후자의 經路에 의하여 水溶液中에서 陽極電流에 의해서 알루미늄金屬이 溶解되는 것이라고 推定할 수 있었다. 물론 이와 같은 溶解過程은 黃酸이나 水酸化나트륨 水溶液中에서도 일어난다고 생각된다.

앞에서 언급한 電極反應으로서는 (5)式과 같은 알루미늄溶出反應外에, 알루미늄金屬表面에서 또는 그表面에 形成된 酸化物被膜이 半導體役割을 하면서 그被膜表面에서 다음과 같은 酸素發生反應이 동시에 일어날 수 있다고 생각된다.



이와 같은 陽極反應에 의한 酸素發生反應을 確認하기 위하여 前述한 경우와 同一한 電解條件 하에서 Fig. 1 과 같은 H-type 隔膜電解槽를 使用하여 陽極室에서 發生되는 氣體를捕集하여 Orsat 가스分析器로 酸素의 含量를 決定해서 酸素發生에 대한 電流效率을 換算한 結果 Fig. 8 과 같다.

이와 같이 通過된 陽極電流中一部가 酸素發生에 消費된 것을 감안하면 Fig. 4 ~ 7에 圖示되어 있는 알루미늄陽極溶出에 관한 電流效率值보다 더큰값이 될것이

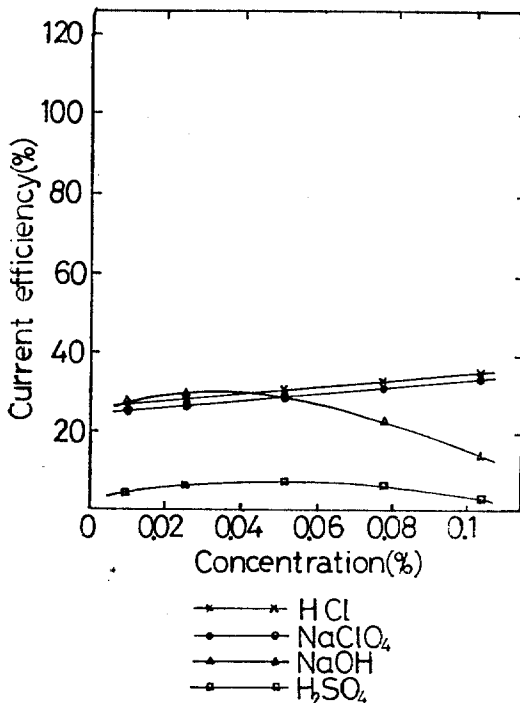
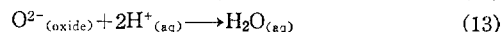


Fig. 8. Current efficiency for oxygen gas generation from anolyte.

며, 이는 水溶液中에서 (5)式과 같은 電解溶出과 無關하게 (6)~(9)式과 같은 溶解反應이 存在하기 때문이라고 생각된다.

이상의 結果로부터 알루미늄金屬을 陽極溶出시킬 때 特히 支持電解質로서 鹽酸 및 過鹽素酸나트륨을 使用하면, 알루미늄金屬表面에 生成된 酸化物被膜이 陽極電流에 의해 破壞되면서 (5)式에 의해서 金屬의 溶出反應이 存在한다고 推定된다.

一般的으로 金屬表面에 酸化物被膜이 生成되는 극히 初期에는 金屬溶解反應과 同時に 被膜이 된다는 것이 定說로 알려져 있으며, 이는 金屬의 溶解에 의해 水和한 金屬이온을 生成하며, 이 水和金屬이온이 脫水重合過程을 걸쳐 水酸化物 또는 酸化物로 變化한다고 생각한다. 따라서 이와 같은 金屬酸化物의 溶解反應은 酸化物과 溶液界面間에서 다음과 같은 反應에 의해 進行되며,



이와 같은 反應의 進行速度는 어느 경우든 酸化物層과 溶液間의 內部電位差에 依存하는 것이라고 생각된다.前述한 바와 같이 陽極電流를 流하여 주므로서 알루미늄電極表面의 被膜과 溶液과의 接觸面에서 部分的으로 (12) 및 (13)式과 같은 反應이 進行되면서 (6)~(9)式과 같은 反應이 反應 (5)와 같이 일어나기 때문에 알루미늄陽極溶出에 관한 電流效率이 100%를 超過한다고 생각된다.

한편 알루미늄陽極에서 酸素가 發生하는 것은 알루미늄金屬表面에서는 酸素發生보다는  $\text{Al}^{3+}$  나 또는  $\text{Al}_2\text{O}_3$  形成이 더욱 容易하므로, 實際로 酸素發生은 酸化物被膜表面에서 일어난다고 推定된다. 따라서 이와 같은 酸化物被膜表面에서 酸素가 發生되기 위해서는 알루미늄陽極表面에 生成된 알루미늄酸化物被膜이 電導性 또는 半導體役割을 할 수 있어야 하며, Dignam에 의하면 알루미늄의 陽極酸化物被膜은 生成條件에 따라  $\gamma\text{-Al}_2\text{O}_3$  또는  $\gamma'\text{-Al}_2\text{O}_3$ 의 結晶을 含有하는 無晶形  $\text{Al}_2\text{O}_3$ 라고 하지만, 實際로는 微細한 結晶의 集合體일지도 모른다고 報告되어 있다<sup>6)</sup>.  $\gamma\text{-Al}_2\text{O}_3$  및  $\gamma'\text{-Al}_2\text{O}_3$ 는 스페셜 ( $\text{O}^{2-}$ 의 b.c.c. 最密充填格子)과 類似한 構造로되어 8面體 中心부근과 四面體中心부근에  $\oplus$ 이온의 vacancy를 갖는 金屬이온充填不足型의 酸化物이라고 생각한다. 따라서 이  $\oplus$ 이온 vacancy 부근에  $\text{Al}^{3+}$ 가 들어가면 化學量的組成 이상으로 알루미늄을 包含하고 있어, 알루미늄과 陰形  $\text{Al}_2\text{O}_3$ (과잉의  $\text{Al}$ 는  $\text{Al}^{2+}$ 의 形態를 취함)가 되면서 n-type 半導體役割을 하여 電導性를 주기 때문에 酸化物被膜表面에서 (10) 및 (11)式에 의해 酸素가 發

生된다고 생각된다.

#### 4. 結論

0.1M이하의 희박한 鹽酸, 過鹽素酸나트륨, 水酸化나트륨 및 黃酸溶液중에서 各種陰極을 使用하여 알루미늄金屬을 陽極溶出시킬 경우, 陽極電流가 通過하고 있는동안은  $\text{Al} \rightarrow \text{Al}^{3+} + 3e$  와 같은 陽極溶出反應에 前述한 電解質溶液과 金屬이 直接反應하여 金屬의 溶解反應이 存在함을 確認할수 있었으며, 알루미늄金屬表面에 生成되는 金屬酸化物被膜이 陽極電流에 의해서溶解되는 것을 推定할수 있었다. 즉 陽極電流가 흐르는 동안은 알루미늄金屬surface의 酸化物被膜의 形成速度보다 被膜의 溶解反應速度가 커져서 알루미늄金屬이 直接溶液과 接觸되어 溶解反應이 일어나면서 水素가스發生과 水酸化알루미늄沈澱이 生成되며, 陽極溶出에 대한 電流効率이 100%보다 큰값을 나타냄을 알 수 있었다. 이와같은 알루미늄金屬의 溶解反應은 특히 鹽酸 및 過鹽素酸나트륨의경우 현저하게 나타났다.

또한 陽極電流에 의해서 陽極室에서 酸素가相當量

發生되며, 이는 알루미늄 金屬表面에 生成된 比較的 酸素過電壓이 낮은 酸化物被膜이 半導體役割을 하면서 그表面에서 酸素發生이 副反應으로 存在한다고 推定할수 있었으며, 이에관하여서는 더욱 檢討할 課題로 생각된다.

끝으로 本論文은 文教部研究助成費에 의해 이루어졌기에 이에 謝意를 표함.

#### 참 고 문 헌

- 1) S. J. Park, Master Dissertation, Univ. Inha (1976)
- 2) 鈴木靜夫, “工業用水處理”, 内田老鶴園新社, p. 43 (1970)
- 3) 久慈陽一, J. Chem. Eng. Japan, **20**, 37 (1975)
- 4) M. Pourbaix, “Atlas of Electrochemical Equilibria in Aqueous Solutions”. Pergamon Press, Oxford, London (1966)
- 5) 永山政一, 高橋英明, 日化, 5, 850 (1972)
- 6) M. J. Dignam, J. Electrochem. Soc., **112**, 722, 729 (1965)